

تحلیل نیم فضای ایزوتrop جانبی تحت اثر صفحه صلب دایره‌ای با استفاده از توابع گرین بار حلقوی*

عزیزالله اردشیر بهرستاقی^(۱)
مرتضی اسکندری قادری^(۲)

چکیده هدف اصلی این مقاله، تحلیل یک نیم فضا با رفتار همسان (ایزوتrop) جانبی است که تحت اثر صفحه‌ی صلب دایره‌ای با تغییر مکان دلخواه روی سطح نیم فضا قرار دارد. بدین منظور، ابتدا با مجزاسازی معادلات تعادل با استفاده از توابع پتانسیل هو-نواکی-لخنیسکی، معادلات به دست آمده با استفاده از سری فوریه و تبدیل هنکل در دستگاه مختصات استوانه‌ای برای بار با توزیع رینگی با امتداد دلخواه حل شده و تغییر مکان‌ها و تنشی‌های محیط به عنوان توابع گرین تغییر مکان و تنشی به دست می‌آیند. پس از آن با اعمال نیرو با توزیع حلقوی و با دامنه‌ی مجهول در حلقه‌های متفاوت، تغییر مکان زیر بار تعیین می‌شود. بسته به این که هدف تعیین تنشی‌ها تحت اثر تغییر مکان قائم، افقی یا چرخشی صلب باشد، شرایط هر یک به تغییر مکان نیم فضا در تماس با صفحه‌ی صلب اعمال شده و دامنه‌ی نیرو با توزیع حلقوی در حلقه‌های متفاوت تعیین می‌شود. نشان داده می‌شود که نتایج به دست آمده برای حالت ساده‌ی محیط همسان بر نتایج موجود منطبق می‌باشد. به منظور نشان دادن اثر ناهمسانی بر تحلیل‌ها، نتایج برای چند نوع ماده‌ی همسان جانبی با ناهمسانی متفاوت ارائه شده و مقایسه می‌شوند.

واژه‌های کلیدی نیم فضا، ایزوتrop جانبی، توابع گرین، دیسک صلب، بار حلقوی.

Analysis of Transversely Isotropic Half-Spaces under the Effect of a Rigid Circular Plate Using Ring Load Green's Functions

A. Ardestir-Behrestaghi

M. Eskandari-Ghadi

Abstract The main goal for this research is to analyze a transversely isotropic half-space under the effect of a circular rigid disc attached on the surface of the domain. To do so, the potential method is used to uncouple the Navier's equilibrium partial differential equations. Utilizing Hu-Nowakii-Lekhnitskii potential functions and both Fourier series and Hankel transform, the displacements and stresses Green's functions are determined for a surface ring load in a cylindrical coordinate system attached to the domain. Then, the effect of circular rigid disc is seen by applying some ring loads of unknown amplitudes, depends on the direction of displacement of the disc, which may be vertical, horizontal or rocking displacement. The amplitudes of the different ring loads are determined by satisfying the displacement boundary conditions. It is shown that the results are identical to the existing ones for the isotropic case. To assess the effect of anisotropy, the results are numerically evaluated for different transversely isotropic materials and compared.

Key Words Half-Space, Transversely Isotropic, Green's Function, Rigid Disc, Ring Load.

*نسخه‌ی اول مقاله در تاریخ ۱۳۸۷/۸/۲۱ و نسخه‌ی نهایی آماده چاپ آن در تاریخ ۱۳۸۹/۱/۱۹ می‌باشد.

(۱) عهده‌دار مکاتبات: دانشجوی دکتری سازه، دانشکده مهندسی عمران، دانشگاه صنعتی نوشیروانی بابل

(۲) دانشیار، گروه علوم پایه مهندسی، پردیس دانشکده‌های فنی، دانشگاه تهران

مقدمه

e ؛ یک امتداد دلخواه می‌باشد. توابع پتانسیلی که قادر به حل همه‌ی مسائل باشند را توابع پتانسیل کامل گویند و در مقابل توابع پتانسیلی که برخی از مسائل را حل نمایند، توابع پتانسیل ناکامل نامیده می‌شوند. تابع کرنشی لاو با اندازه اصلاح به یک مجموعه‌ی کامل تبدیل می‌شود [11]. از توابع پتانسیل کامل ارائه شده برای محیط‌های همسان جانبی می‌توان به توابع الیوت [12]، هو-نواکی-لختنیتسکی [13]، ونگ و ونگ [14] و اسکندری قادی [15] اشاره کرد. توابع الیوت و توابع هو-نواکی-لختنیتسکی برای حل معادلات تعادل و توابع اسکندری قادی برای حل معادلات حرکت در محیط‌های همسان جانبی مورد استفاده قرار می‌گیرد.

حل دقیق اثر تغییرمکان صفحات صلب روی نیم‌فضاهای به حل معادلات انتگرالی دوگانه می‌انجامد [2,6]. معمولاً برای حل معادلات انتگرالی، با استفاده از تبدیلات انتگرالی این معادلات به معادلات انتگرالی فردholm نوع دوم [16] و یا هر معادله‌ی قابل حل دیگر تبدیل می‌شود. به علت مشکلات مربوط به معادلات انتگرالی دوگانه، ارائه‌ی یک راه حل کارا، دقیق و آسان همواره مورد توجه محققین بوده است. در اینجا یک راه حل ساده و دقیق جایگزین معادلات انتگرالی دوگانه و پس‌آمدی‌های آن می‌شود. در این مقاله توابع هو-نواکی-لختنیتسکی به علت کامل بودن [14] و سادگی موردن استفاده قرار می‌گیرد. معادلات دیفرانسیل با مشتقهای جزئی حاکم بر توابع پتانسیل در دستگاه مختصات استوانه‌ای با استفاده از سری فوریه در امتداد محیطی و تبدیل هنکل در امتداد شعاعی به معادلات دیفرانسیل معمولی در امتداد قائم تبدیل شده و حل می‌شوند. ضرایب ثابت برای شرایط بار حلقوی تعیین می‌شوند. از آنجایی که توزیع تنش در محل تماس صفحه صلب با نیم‌فضا نامشخص است، تنش تماسی را به صورت تنش حلقوی با پهنه‌ای محدود با دامنه‌ی

تحلیل محیط‌ها تحت اثر تغییرمکان‌ها و حرکت‌های صفحات صلب، مدت‌هاست که ذهن محققان مکانیک مهندسی، تئوری ارجاعی و ریاضیات کاربردی را اشغال کرده است [1-6]. از طرفی بررسی محیط‌های ناهم‌سان اجتناب ناپذیر است. شاید اولین بررسی یک نیم‌فضای ناهم‌سان تحت اثر نیروی سطحی مربوط به میشل [7] باشد. نتایج بررسی محیط‌ها تحت تغییرمکان‌ها و حرکت‌های صفحات صلب می‌تواند در شکل دادن فلزات در مهندسی مکانیک و در تحلیل تنش‌ها و تغییرمکان‌های زیر شالوده در مهندسی عمران مورد استفاده قرار گیرد. همواره تماس نیرویی یک صفحه‌ی صلب با یک محیط ارجاعی، در لبه‌های تماس صفحه‌ی صلب و محیط ارجاعی ایجاد رفتار تکین (Singular) می‌نماید. این موضوع به علت مقاومت محدود اجسام مورد علاقه‌ی مهندسان و به علت مشکلات تحلیلی مورد علاقه‌ی محققان ریاضیات کاربردی بوده است [8, 6, 5, 1]. از آن جایی که معادلات تعادل در تئوری ارجاعی، معادلات دیفرانسیل با مشتقهای جزئی و درگیر می‌باشند، به منظور حل تحلیلی و بررسی دقیق جواب‌ها نیاز به مجذبازی این معادلات می‌باشد. یکی از ابزارهای قوی و کاربردی در این زمینه استفاده از توابع پتانسیل می‌باشد. توابع پتانسیل متعددی برای جداسازی معادلات تعادل در محیط‌های همسان ارائه شده‌اند که از آن میان می‌توان به توابع پتانسیل لامه، لاو، بوسینسک، نوبر و پاپکویچ، گالرکین [9] و تابع پتانسیل اسکندری قادی و پک [10] اشاره کرد. برخی از این توابع پتانسیل، قادر به حل همه‌ی مسائل استاتیکی تئوری ارجاعی نیستند. به عنوان مثال، تابع پتانسیل لاو که به تابع کرنشی لاو نیز مشهور است، می‌تواند مسائلی را حل نماید که در آن $u \cdot \text{curl } u = 0$ است. در اینجا

در این رابطه w, v, u مؤلفه‌های بردار تغییرمکان به ترتیب در امتدادهای r, θ, z بوده و A_{ij} ضرایب ارجاعی می‌باشد که تانسور تنش σ_{ij} را به تانسور کرنش ϵ_{ij} مربوط می‌سازد:

$$\sigma_{rr} = A_{11}\epsilon_{rr} + A_{12}\epsilon_{\theta\theta} + A_{13}\epsilon_{zz},$$

$$\sigma_{\theta\theta} = A_{12}\epsilon_{rr} + A_{11}\epsilon_{\theta\theta} + A_{13}\epsilon_{zz},$$

$$\sigma_{zz} = A_{13}\epsilon_{rr} + A_{12}\epsilon_{\theta\theta} + A_{33}\epsilon_{zz},$$

$$\sigma_{rz} = 2A_{44}\epsilon_{rz}, \quad \sigma_{\theta z} = 2A_{44}\epsilon_{\theta z}, \quad \sigma_{r\theta} = 2A_{66}\epsilon_{r\theta},$$

مشخص نوشته و با برقراری شرایط تغییرمکان صفحه صلب، دامنه‌ی تنش‌های رینگی تعیین می‌شود. بدین ترتیب، توزیع تنش تماسی تعیین شده و نشان داده می‌شود که با افزایش تعداد حلقه‌ها نتایج به سرعت به سمت نتایج دقیق هم‌گرا می‌شود. به منظور بررسی اثرات ناهمسانی نتایج برای محیط‌های همسان جانبی با ناهمسانی‌های متفاوت ارائه شده و مقایسه می‌شوند. یکی از استفاده‌های نتایج این مقاله، تحلیل شالوده‌های صلب متکی بر محیط‌های همسان جانبی می‌باشد.

(۲)

که در آن $(i, j = r, \theta, z)$ و $A_{66} = (A_{11} - A_{12})/2$ و A_{ij} مؤلفه‌های تانسور کرنش می‌باشد. ضرایب ارجاعی ϵ_{ij} به صورت زیر تعریف می‌شوند [13]:

$$A_{11} = \frac{E(1 - \frac{E}{\bar{E}}\bar{v}^2)}{(1+\nu)(1-\nu-2\frac{E}{\bar{E}}\bar{v}^2)}, \quad A_{13} = \frac{E\bar{v}}{1-\nu-2\frac{E}{\bar{E}}\bar{v}^2},$$

$$A_{33} = \frac{\bar{E}(1-\nu)}{1-\nu-2\frac{E}{\bar{E}}\bar{v}^2}, \quad A_{44} = \bar{\mu}, \quad A_{66} = \frac{E}{2(1+\nu)} = \mu$$

(۳)

در رابطه‌ی (۳)، E : معرف مدول یانگ در صفحه‌ی ایزوتropی، \bar{E} : معرف مدول یانگ عمود بر صفحه‌ی ایزوتropی، ν : معرف ضریب پواسون در صفحه‌ی ایزوتropی (عنی جمع شدگی در یک امتداد دلخواه در صفحه‌ی ایزوتropی به علت کشش در امتداد عمود بر این امتداد مجدداً در صفحه ایزوتropی)، \bar{v} : معرف ضریب پواسون عمود بر صفحه‌ی ایزوتropی (جمع شدگی عمود بر صفحه‌ی ایزوتropی به علت کشش در امتداد دلخواه در صفحه‌ی ایزوتropی)، $\bar{\mu}$: معرف مدول برشی در صفحه‌ی ایزوتropی و $\bar{\mu}$: معرف مدول برشی در صفحات عمود بر صفحه‌ی ایزوتropی می‌باشد. برای مواد همسان (ایزوتrop) ضرایب

معادلات حاکم و حل آنها

یک نیم‌فضای همسان جانبی طوری در نظر گرفته می‌شود که محور ایزوتropی (همسانی) آن عمود بر سطح آزاد نیم‌فضا باشد. دستگاه مختصات استوانه‌ای $(o : r, \theta, z)$ طوری قرار داده می‌شود که در آن امتداد z موازی محور همسانی بوده و نیم‌فضا با $z > 0$ تعریف شود. معادلات تعادل بر حسب تغییرمکان، برای حالتی که نیروهای حجمی وجود نداشته باشد به صورت ذیل نوشته می‌شود:

$$A_{11}(\frac{\partial^2 u}{\partial r^2} + \frac{1}{r} \frac{\partial u}{\partial r} - \frac{u}{r^2}) + \frac{A_{11} - A_{12}}{2} \frac{1}{r^2} \frac{\partial^2 u}{\partial \theta^2} + A_{44} \frac{\partial^2 u}{\partial z^2} + \frac{A_{11} + A_{12}}{2} (\frac{1}{r} \frac{\partial^2 v}{\partial r \partial \theta} + \frac{1}{r^2} \frac{\partial v}{\partial \theta}) - 2A_{11} \frac{1}{r^2} \frac{\partial v}{\partial \theta} + (A_{13} + A_{44}) \frac{\partial^2 w}{\partial r \partial z} = 0,$$

$$\frac{A_{11} - A_{12}}{2} (\frac{\partial^2 v}{\partial r^2} + \frac{1}{r} \frac{\partial v}{\partial r} - \frac{v}{r^2}) + A_{11} \frac{1}{r^2} \frac{\partial^2 v}{\partial \theta^2} + A_{44} \frac{\partial^2 v}{\partial z^2} + \frac{A_{11} + A_{12}}{2} (\frac{1}{r} \frac{\partial^2 u}{\partial r \partial \theta} - \frac{1}{r^2} \frac{\partial u}{\partial \theta}) + 2A_{11} \frac{1}{r^2} \frac{\partial u}{\partial \theta} + (A_{13} + A_{44}) \frac{1}{r} \frac{\partial^2 w}{\partial \theta \partial z} = 0,$$

$$A_{33} \frac{\partial^2 w}{\partial z^2} + A_{44} (\frac{\partial^2 w}{\partial r^2} + \frac{1}{r} \frac{\partial w}{\partial r} + \frac{1}{r^2} \frac{\partial^2 w}{\partial \theta^2}) + (A_{13} + A_{44}) (\frac{\partial^2 u}{\partial r \partial z} + \frac{1}{r} \frac{\partial u}{\partial z}) + (A_{13} + A_{44}) \frac{1}{r} \frac{\partial^2 v}{\partial \theta \partial z} = 0. \quad (1)$$

$$\nabla_i^2 = \nabla_{r\theta}^2 + \frac{1}{s_i^2} \frac{\partial^2}{\partial z^2}, \quad (i=0,1,2)$$

(۸)

$$s_0^2 = A_{66} / A_{44} \quad \text{و} \quad s_1^2 = A_{11} A_{44} - A_{13}^2 / (A_{13}^2 + 2A_{13}A_{44} - A_{11}A_{33}) \quad \text{و}$$

و s_2^2 ریشه‌های معادله‌ی ذیل هستند:

$$A_{33}A_{44}s^4 + (A_{13}^2 + 2A_{13}A_{44} - A_{11}A_{33})s^2 + A_{11}A_{44} = 0. \quad (9)$$

s_1 و s_2 می‌توانند اعداد مختلط باشند، اما نمی‌توانند اعداد موهومی خالص باشند [13]. به منظور حل معادلات (۷)، می‌توان توابع F و χ را نسبت به θ به صورت سری فوریه نوشت. سری فوریه مختلط این توابع به صورت ذیل هستند [5]:

$$F(r, \theta, z) = \sum_{m=-\infty}^{+\infty} F_m(r, z) e^{im\theta},$$

$$\chi(r, \theta, z) = \sum_{m=-\infty}^{+\infty} \chi_m(r, z) e^{im\theta}, \quad (10)$$

که در آن F_m و χ_m ضرایب m ام سری فوریه

توابع F و χ هستند [5]:

$$[F_m, \chi_m(r, z)] = \frac{1}{2\pi} \int_0^{2\pi} [F, \chi(r, \theta, z)] e^{-im\theta} d\theta. \quad (11)$$

با قرار دادن روابط (۱۰) و (۱۱) در معادلات (۷)

این معادلات به صورت ذیل نوشته می‌شوند:

$$[\nabla_{1m}^2 \nabla_{2m}^2] F_m(r, z) = 0,$$

$$\nabla_{0m}^2 \chi_m(r, z) = 0,$$

(۱۲)

که در آن برای $i = (0, 1, 2)$

ارتجاعی A_{ij} به صورت ذیل تعریف می‌شوند:

$$A_{11} = A_{33} = 2\mu(1-v) / (1-2v),$$

$$A_{12} = A_{13} = 2\mu v / (1-2v), \quad A_{44} = A_{66} = \mu, \quad (4)$$

که در رابطه‌ی فوق، μ : معرف مدول برشی و v : معرف ضریب پواسون می‌باشد.

معادلات تعادل (۱) یک دستگاه معادلات

دیفرانسیل درگیر با مشتقهای جزئی می‌باشند. به منظور مجزا سازی این معادلات ازتابع پتانسیل F و χ که همان توابع هو-نوکی-لخنیتسکی می‌باشند، استفاده می‌شود. مؤلفه‌های بردار تغییر مکان بر حسب توابع پتانسیل F و χ در دستگاه مختصات استوانه‌ای و در حالت استاتیکی به صورت ذیل نوشته می‌شوند [14]:

$$U = -\alpha_3 \frac{\partial^2 F}{\partial r \partial z} - \frac{1}{r} \frac{\partial \chi}{\partial \theta}, \quad V = -\alpha_3 \frac{1}{r} \frac{\partial^2 F}{\partial \theta \partial z} + \frac{\partial \chi}{\partial r},$$

$$W = (1 + \alpha_1) \left[\nabla_{r\theta}^2 + \beta \frac{\partial^2}{\partial z^2} \right] F, \quad (5)$$

که در آن:

$$\alpha_1 = \frac{A_{66} + A_{12}}{A_{66}}, \quad \alpha_2 = \frac{A_{44}}{A_{66}}, \quad \alpha_3 = \frac{A_{13} + A_{44}}{A_{66}},$$

$$\beta = \frac{\alpha_2}{1 + \alpha_1}, \quad \nabla_{r\theta}^2 = \frac{\partial^2}{\partial r^2} + \frac{1}{r} \frac{\partial}{\partial r} + \frac{1}{r^2} \frac{\partial^2}{\partial \theta^2}. \quad (6)$$

با قرار دادن روابط (۵) در معادلات تعادل (۱)،

دو معادله‌ی دیفرانسیل کاملاً مستقل از هم و حاکم بر توابع پتانسیل F و χ به صورت ذیل در می‌آیند:

$$\left[\nabla_1^2 \nabla_2^2 \right] F(r, \theta, z) = 0, \quad \nabla_0^2 \chi(r, \theta, z) = 0, \quad (7)$$

که در آن:

$$\bar{\nabla}_{im}^2 = d^2 / (s_i^2 dz^2) - \xi^2, \quad i=(0,1,2) \quad (17) \quad \nabla_{im}^2 = \frac{\partial^2}{\partial r^2} + \frac{1}{r} \frac{\partial}{\partial r} - \frac{m^2}{r^2} + \frac{1}{s_i^2} \frac{\partial^2}{\partial z^2}. \quad (13)$$

معادلات (۱۶-۱) و (۱۶-۲) به ترتیب یک

معادله‌ی دیفرانسیل معمولی مرتبه چهارم و یک معادله‌ی دیفرانسیل معمولی مرتبه دوم با ضرایب ثابت می‌باشند.

جواب معادلات (۱۶) به صورت ذیل می‌باشند:

با توجه به هندسه و شرایط مرزی مسئله بسیار مناسب می‌باشد که از تبدیل هنکل مرتبه m ام نسبت به امتداد شعاعی r به شرح ذیل استفاده شود [۵]:

$$F_m^m(\xi, z) = A_m(\xi) e^{-\lambda_1 z} + B_m(\xi) e^{-\lambda_2 z},$$

$$[F_m^m, \chi_m^m](\xi, z) = \int_0^\infty [F_m, \chi_m](r, z) r J_m(\xi r) dr, \quad (14)$$

$$\chi_m^m(\xi, z) = C_m(\xi) e^{-\lambda_3 z},$$

(18)

$$[F_m, \chi_m](r, z) = \int_0^\infty [F_m^m, \chi_m^m](\xi, z) \xi J_m(\xi r) d\xi \quad (15)$$

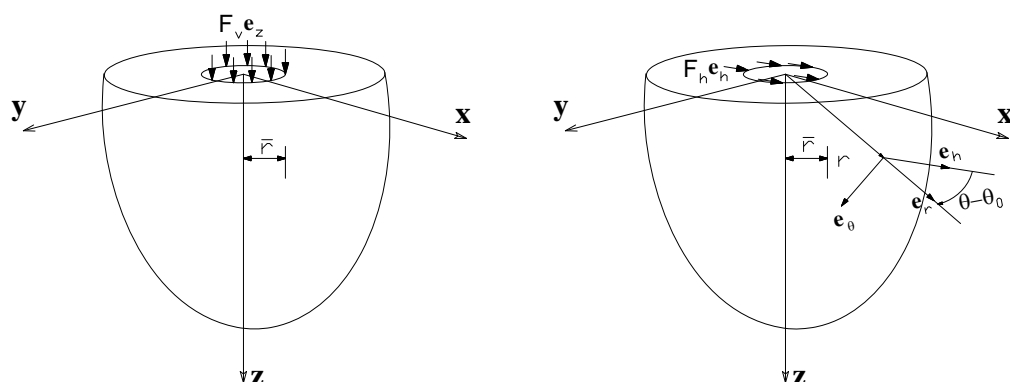
$$\lambda_1 = s_1 \xi \quad \lambda_2 = s_2 \xi \quad \lambda_3 = s_0 \xi. \quad (19)$$

که در آن: J_m ؛ تابع بسل نوع اول از مرتبه m می‌باشد. با قرار دادن رابطه‌ی (۱۴) در معادلات (۱۲) این معادلات به صورت ذیل در می‌آیند:

$$[\bar{\nabla}_{1m}^2, \bar{\nabla}_{2m}^2] F_m^m(\xi, z) = 0 \quad (16-1)$$

$$\bar{\nabla}_{0m}^2 \chi_m^m(\xi, z) = 0, \quad (16-2)$$

که در آن:



شکل ۱ نیم فضای همسان جانبی تحت نیرو با توزیع حلقوی مؤثر بر حلقه به شعاع \bar{r}

$$\begin{aligned} u_m^{m-1} - i v_m^{m-1} &= -\alpha_3 \xi \frac{d F_m^m}{dz} - i \xi \chi_m^m, \\ u_m^{m+1} + i v_m^{m+1} &= \alpha_3 \xi \frac{d F_m^m}{dz} - i \xi \chi_m^m, \\ w_m^m &= (1 + \alpha_1) [-\xi^2 + \beta \frac{\partial^2}{\partial z^2}] F_m^m, \end{aligned} \quad (24)$$

که در آن u_m^{m-1} و u_m^{m+1} به ترتیب تبدیل هنکل مرتبه $m-1$ و مرتبه $m+1$ تابع u_m و v_m^{m+1} ، v_m^{m-1} به ترتیب تبدیل هنکل مرتبه $m-1$ و $m+1$ تابع w_m^m و v_m تابع m به ترتیب، تبدیل هنکل مرتبه m تابع w_m و F_m^m و χ_m^m به ترتیب، تبدیل هنکل مرتبه m تابع χ_m و F_m به ترتیب پتانسیل F_m و χ_m می‌باشند. همچنین روابط تنش-توابع پتانسیل در فضای هنکل-فوریه به صورت ذیل در می‌آید:

$$\begin{aligned} \sigma_{zmm}^{m-1} - i \sigma_{z\theta m}^{m-1} &= -A_{44} \xi \left[(\alpha_3 - \alpha_2) \frac{d^2}{dz^2} + \xi^2 (1 + \alpha_1) \right] F_m^m - A_{44} \xi i \frac{d \chi_m^m}{dz}, \\ \sigma_{zmm}^{m+1} + i \sigma_{z\theta m}^{m+1} &= A_{44} \xi \left[(\alpha_3 - \alpha_2) \frac{d^2}{dz^2} + \xi^2 (1 + \alpha_1) \right] F_m^m - A_{44} \xi i \frac{d \chi_m^m}{dz}, \\ \sigma_{zmm}^m &= \frac{d}{dz} \left[\alpha_3 A_{13} \xi^2 - A_{33} \xi^2 (1 + \alpha_1) + A_{33} \alpha_2 \frac{d^2}{dz^2} \right] F_m^m, \end{aligned}$$

$$\begin{aligned} \sigma_{rrm}^m + (A_{11} - A_{12}) \left\{ \left(\frac{u_m}{r} \right)^m + i m \left(\frac{v_m}{r} \right)^m \right\} &= \frac{d}{dz} \left[\alpha_3 A_{11} \xi^2 - A_{13} \xi^2 (1 + \alpha_1) + A_{13} \alpha_2 \frac{d^2}{dz^2} \right] F_m^m, \\ \sigma_{\theta\theta m}^m - (A_{11} - A_{12}) \left\{ \left(\frac{u_m}{r} \right)^m + i m \left(\frac{v_m}{r} \right)^m \right\} &= \frac{d}{dz} \left[\alpha_3 A_{12} \xi^2 - A_{13} \xi^2 (1 + \alpha_1) + A_{13} \alpha_2 \frac{d^2}{dz^2} \right] F_m^m, \end{aligned}$$

$$\begin{aligned} \sigma_{r\theta m}^m + (A_{11} - A_{12}) \left\{ \left(\frac{v_m}{r} \right)^m - i m \left(\frac{u_m}{r} \right)^m \right\} &= -\frac{A_{11} - A_{12}}{2} \xi^2 \chi_m^m, \end{aligned} \quad (25)$$

که در آن $\sigma_{z\theta m}^{m-1}$ ، $\sigma_{z\theta m}^{m+1}$ و ... تبدیل هنکل مرتبه $m+1$ ، $m-1$ و ... ضرایب m سری فوریه مؤلفه‌های χ_m^m نوشته شوند:

$$\begin{aligned} f(r, \theta, \bar{r}) &= f_h(r, \theta, \bar{r}) + f_v(r, \theta, \bar{r}) \\ &= F_h \frac{\delta(r - \bar{r})}{2\pi r} e_h + F_v \frac{\delta(r - \bar{r})}{2\pi r} e_z, \end{aligned} \quad (20-\text{الف})$$

$$\begin{aligned} f_h(r, \theta, \bar{r}) &= (1/2\pi r) F_h \delta(r - \bar{r}) e_h, \\ f_v(r, \theta, \bar{r}) &= (1/2\pi r) F_v \delta(r - \bar{r}) e_z, \end{aligned} \quad (20-\text{ب})$$

$$e_h = e_r \cos(\theta - \theta_0) - e_\theta \sin(\theta - \theta_0). \quad (21)$$

بر این اساس شرایط مرزی در $z = 0$ عبارتند از:

$$\begin{cases} \sigma_{rz}(r, \theta, \bar{r}, z=0) = -P(r, \theta, \bar{r}), \\ \sigma_{z0}(r, \theta, \bar{r}, z=0) = -Q(r, \theta, \bar{r}), \\ \sigma_{zz}(r, \theta, \bar{r}, z=0) = -R(r, \theta, \bar{r}), \\ \sigma_{rz}(r, \theta, \bar{r}, z=0) = 0, \\ \sigma_{z0}(r, \theta, \bar{r}, z=0) = 0, \\ \sigma_{zz}(r, \theta, \bar{r}, z=0) = 0, \end{cases} \quad \begin{cases} (r, \theta, \bar{r}) \in \pi_0 \\ (r, \theta, \bar{r}) \notin \pi_0 \end{cases} \quad (22)$$

در بی‌نهایت دور ($z \rightarrow +\infty$) یا ($r \rightarrow \infty$) کلیه‌ی مؤلفه‌های تانسور تنش و بردار تغییرمکان صفر هستند. در روابط (22)، $P(r, \theta, \bar{r})$ ، $Q(r, \theta, \bar{r})$ و $R(r, \theta, \bar{r})$ مؤلفه‌های بردار بارگذاری $f(r, \theta, \bar{r})$ به ترتیب در امتدادهای r ، θ و z می‌باشند به طوری که:

$$\begin{aligned} P(r, \theta, \bar{r}) &= F_h \frac{\delta(r - \bar{r})}{2\pi r} \cos(\theta - \theta_0), \\ Q(r, \theta, \bar{r}) &= -F_h \frac{\delta(r - \bar{r})}{2\pi r} \sin(\theta - \theta_0), \\ R(r, \theta, \bar{r}) &= F_v \frac{\delta(r - \bar{r})}{2\pi r}. \end{aligned} \quad (23)$$

شرط مرزی داده شده در روابط (22) باید در فضای هنکل-فوریه نوشته شوند تا با جایگزینی معادلات (18) در آنها، بتوان 3 تابع A_m ، B_m و C_m را به دست آورد. بدین منظور تغییرمکان‌ها و تنش‌ها به صورت ذیل با هم ترکیب شده تا بر حسب تابع F_m^m و χ_m^m نوشته شوند:

$$w_m^m = \Omega_1(\xi, z) \frac{X_m - Y_m}{2A_{44}} + \Omega_2(\xi, z) \frac{Z_m}{A_{33}},$$

$$u_m^{m+1} + iV_m^{m+1} = \gamma_1(\xi, z) \frac{X_m - Y_m}{2A_{44}} + \gamma_2(\xi, z) \frac{X_m + Y_m}{2A_{44}} + \gamma_3(\xi, z) \frac{Z_m}{A_{33}},$$

$$u_m^{m-1} - iV_m^{m-1} = -\gamma_1(\xi, z) \frac{X_m - Y_m}{2A_{44}} + \gamma_2(\xi, z) \frac{X_m + Y_m}{2A_{44}} - \gamma_3(\xi, z) \frac{Z_m}{A_{33}}, \quad (31)$$

$$\begin{aligned} \sigma_{zzm}^m &= \left[A_{33} \frac{d\Omega_1}{dz} + A_{13}\xi\gamma_1 \right] \left(\frac{X_m - Y_m}{2A_{44}} \right) + \\ &\quad \left[A_{33} \frac{d\Omega_2}{dz} + A_{13}\xi\gamma_3 \right] \left(\frac{Z_m}{A_{33}} \right), \\ \sigma_{zrm}^{m+1} + i\sigma_{z0m}^{m+1} &= A_{44} \left[\frac{d\gamma_1}{dz} - \xi\Omega_1 \right] \left(\frac{X_m - Y_m}{2A_{44}} \right) + \\ &\quad A_{44} \left[\frac{d\gamma_2}{dz} \right] \left(\frac{X_m + Y_m}{2A_{44}} \right) + \\ &\quad A_{44} \left[\frac{d\gamma_3}{dz} - \xi\Omega_2 \right] \left(\frac{Z_m}{A_{33}} \right), \\ \sigma_{zrm}^{m-1} - i\sigma_{z0m}^{m-1} &= -A_{44} \left[\frac{d\gamma_1}{dz} - \xi\Omega_1 \right] \left(\frac{X_m - Y_m}{2A_{44}} \right) + \\ &\quad A_{44} \left[\frac{d\gamma_2}{dz} \right] \left(\frac{X_m + Y_m}{2A_{44}} \right) - \\ &\quad A_{44} \left[\frac{d\gamma_3}{dz} - \xi\Omega_2 \right] \left(\frac{Z_m}{A_{33}} \right), \end{aligned}$$

$$\begin{aligned} \sigma_{rrm}^m + 2A_{66} \left(\frac{u_m}{r} + im \frac{v_m}{r} \right)^m &= \\ \left[A_{13} \frac{d\Omega_1}{dz} + A_{11}\xi\gamma_1 \right] \left(\frac{X_m - Y_m}{2A_{44}} \right) + \\ \left[A_{13} \frac{d\Omega_2}{dz} + A_{11}\xi\gamma_3 \right] \left(\frac{Z_m}{A_{33}} \right), \end{aligned}$$

$$\begin{aligned} \sigma_{r0m}^m - 2A_{66} \left(\frac{u_m}{r} + im \frac{v_m}{r} \right)^m &= \\ \left[A_{13} \frac{d\Omega_1}{dz} + A_{12}\xi\gamma_1 \right] \left(\frac{X_m - Y_m}{2A_{44}} \right) + \\ \left[A_{13} \frac{d\Omega_2}{dz} + A_{12}\xi\gamma_3 \right] \left(\frac{Z_m}{A_{33}} \right), \\ \sigma_{r0m}^m + 2A_{66} \left(\frac{v_m}{r} - im \frac{u_m}{r} \right)^m &= -iA_{66}\xi\gamma_2 \left(\frac{X_m + Y_m}{2A_{44}} \right). \end{aligned} \quad (32)$$

تانسور تنش می‌باشد. از تبدیل روابط (۲۲) در فضای هنکل-فوريه می‌توان به دست آورد:

$$\begin{aligned} \sigma_{zrm}^{m-1} - i\sigma_{z0m}^{m-1} &= P_m^{m-1} - iQ_m^{m-1}, \\ \sigma_{zrm}^{m+1} + i\sigma_{z0m}^{m+1} &= P_m^{m+1} + iQ_m^{m+1}, \\ \sigma_{zrm}^m &= R_m^m, \end{aligned} \quad (26)$$

و از ترکیب روابط (۲۶) و (۲۵) می‌توان نوشت:

$$\begin{aligned} -\xi A_{44}\eta_1 A_m - \xi A_{44}\eta_2 B_m + i\xi A_{44}\lambda_{m3} C_m \\ = P_m^{m-1} - iQ_m^{m-1}, \end{aligned}$$

$$\begin{aligned} \xi A_{44}\eta_1 A_m + \xi A_{44}\eta_2 B_m + i\xi A_{44}\lambda_{m3} C_m \\ = P_m^{m+1} + iQ_m^{m+1}, \\ A_{33}[v_1 A_m + v_2 B_m] = R_m^m, \end{aligned} \quad (27)$$

که در آن:

$$\begin{cases} \eta_i = (\alpha_3 - \alpha_2)\lambda_i^2 + \xi^2(1 + \alpha_1), \\ v_i = (\eta_i - \alpha_3 \frac{A_{13}}{A_{33}}\xi^2 - \alpha_3\lambda_i^2)\lambda_i. \end{cases} \quad i = (1, 2) \quad (28)$$

از حل دستگاه معادلات رابطه‌ی (۲۷) توابع مجهول A_m , B_m و C_m به دست می‌آیند:

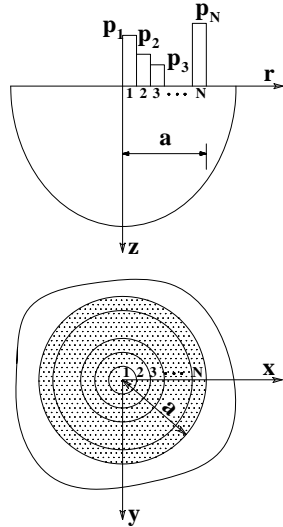
$$\begin{aligned} A_m &= \frac{1}{\xi I} \left[\frac{-v_2}{2A_{44}} (X_m - Y_m) - \eta_2 \xi \frac{Z_m}{A_{33}} \right], \\ B_m &= \frac{1}{\xi I} \left[\frac{v_1}{2A_{44}} (X_m - Y_m) + \eta_1 \xi \frac{Z_m}{A_{33}} \right], \\ C_m &= \frac{i(X_m + Y_m)}{2\xi\lambda_3 A_{44}}, \end{aligned} \quad (29)$$

که در آن:

$$\begin{aligned} X_m &= P_m^{m-1}(\xi) - iQ_m^{m-1}(\xi), \quad Y_m = P_m^{m+1}(\xi) + iQ_m^{m+1}(\xi), \\ Z_m &= R_m^m(\xi), \quad I(\xi) = \eta_2 v_1 - \eta_1 v_2. \end{aligned} \quad (30)$$

با جایگذاری روابط (۲۹) در روابط (۲۴) و (۲۵)، تابع تغییرمکان و تنش در فضای هنکل-فوريه به دست می‌آیند:

$$W_i(M) = p_i \bar{W}_i(M) = \\ p_i \int_{m_i}^{n_i} \left[\frac{1}{2\pi A_{33}} \int_0^{\infty} \xi \Omega_2(\xi, z) J_0(\xi \bar{r}) J_0(\xi r) d\xi \right] d\bar{r}, \\ m_i = a(i-1)/N, \quad n_i = a i/N. \quad (36)$$



شکل ۲ نیم‌فضای همسان جانبی تحت فشار با توزیع حلقوی
مؤثر بر N حلقه هر یک به پهنه‌ی a / N

از آنجایی که شالوده‌ی دایره‌ای مورد مطالعه صلب می‌باشد، تغییر مکان کلیه‌ی نقاط محیط در محل تماس با شالوده ثابت می‌باشد. اگر این مقدار ثابت را با Δ_W نشان دهیم، آنگاه با مساوی قرار دادن تغییر مکان نقطه $A_i(r = \bar{r}, \theta, z = 0)$ با $A_i(r = \bar{r}, \theta, z = 0)$ ، به N معادله می‌رسیم؛ به طوری که با حل آن‌ها، N مجهول می‌رسیم؛ (یعنی $i = 1, 2, 3, \dots, N$)، p_i داشتن p_i ‌ها، توزیع تغییر مکان و تنش در هر نقطه از محيط معلوم است. از این میان می‌توان توزیع فشار تماسی شالوده و محیط را نیز تعیین نمود. همچنانی با توجه به صلب بودن شالوده، با تعیین نیروی کل تماسی از رابطه‌ی ذیل:

$$F_v = 2\pi \int_0^a r p(r) dr = 2\pi \sum_{i=1}^N \left(\frac{p_i}{2\pi \bar{r}} \right) \bar{r} \Delta r. \quad (37)$$

سختی بی بعد فنر متوجه کردن خاک (شکل (۳)) از رابطه‌ی:

در روابط فوق، پارامترهای $\gamma_1, \gamma_2, \gamma_3$ و Ω_1, Ω_2 و مشتقات آن‌ها برای حالت‌هایی که $s_1 \neq s_2$ و $s_1 = s_2$ متفاوت بوده و در ضمیمه‌ی الف داده شده‌اند. در حالت بارگذاری رینگی توابع X_m, Y_m و Z_m عبارتند از:

$$P_{\pm 1}(r, \bar{r}) = F_h e^{\mp i\theta_0} \frac{\delta(r - \bar{r})}{4\pi r}, \quad P_m(r, \bar{r}) = 0, \quad m \neq \pm 1, \\ Q_{\pm 1}(r, \bar{r}) = \pm i F_h e^{\mp i\theta_0} \frac{\delta(r - \bar{r})}{4\pi r}, \quad Q_m(r, \bar{r}) = 0, \quad m \neq \pm 1, \\ R_0(r, \bar{r}) = F_v \frac{\delta(r - \bar{r})}{2\pi r}, \quad R_m(r, \bar{r}) = 0, \quad m \neq 0, \quad (33)$$

$$X_1(\bar{r}, \xi) = \frac{F_h}{2\pi} J_0(\xi \bar{r}) e^{-i\theta_0}, \quad X_m(\bar{r}, \xi) = 0, \quad m \neq 1, \\ Y_{-1}(\bar{r}, \xi) = \frac{F_h}{2\pi} J_0(\xi \bar{r}) e^{i\theta_0}, \quad Y_m(\bar{r}, \xi) = 0, \quad m \neq -1, \\ Z_0(\bar{r}, \xi) = \frac{F_v}{2\pi} J_0(\xi \bar{r}), \quad Z_m(\bar{r}, \xi) = 0, \quad m \neq 0. \quad (34)$$

تحلیل تحت اثر شالوده صلب

برای تحلیل نیم‌فضای همسان جانبی تحت شالوده‌ی صلب دایره‌ای به شعاع a ، نیم‌فضای مورد نظر تحت N فشار رینگی متفاوت هر یک باشد ($i = 1, 2, 3, \dots, N$)، p_i مؤثر بر حلقه‌ای به شعاع مرکزی \bar{r} و پهنه‌ی ثابت N/a قرار می‌گیرد؛ به طوری که N تعداد حلقه‌هایی می‌باشد که تحت فشار حلقوی قرار دارند (شکل (۲)).

در این صورت، تغییر مکان هر نقطه از محیط با مختصات $M(r, \theta, z)$ برابر:

$$W(M) = \sum_{i=1}^N W_i(M), \quad (35)$$

نمکان M به علت فشار حلقوی p_i مؤثر بر حلقه‌ای به شعاع \bar{r} و به پهنه‌ی N/a است. از آنجایی که p_i ثابت می‌باشد، $W_i(M)$ با استفاده از روابط (۳۱) و (۳۴) برابر است با:

نتایج عددی

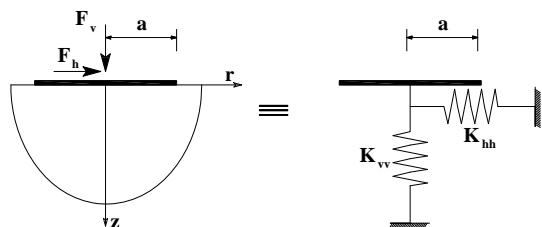
در این بخش، نتایج به دست آمده در بخش‌های قبلی به صورت عددی برآورد می‌شوند. برآورد عددی انتگرال‌های ارائه شده در بخش‌های قبلی نیاز به دقت خاصی دارد؛ چرا که برآورد این انتگرال‌ها با توجه به وجود توابع بسل و رفتار نوسانی آن آسان نیست؛ به علاوه، حد بالای انتگرال‌ها محدود نبوده و باید با دقت مناسب تعیین شود. برای برآورد عددی، ۵ نوع ماده مطابق جدول (۱) در نظر گرفته می‌شود. در این جدول دو ماده‌ای اول ایزوتروب با ضرایب پواسون ۰/۲۵ و ۰/۳۳ بوده و مابقی با رفتار ایزوتروب جانبی می‌باشند. ماده‌ای ایزوتروب با ضرایب پواسون ۰/۳۳ در این جدول، همان ماده‌ای است که لوکو و میتا [۸] در نظر گرفته‌اند. مطابق تحقیقات لوکو و میتا سختی بی بعد فنر قائم معادل نیم‌فضا متشکل از ماده‌ای شماره II تحت شالوده‌ی صلب دایره‌ای برابر ۶/۰۰ می‌باشد [۸]. ماده‌ای شماره I در تحقیقات پک و اشلاک [۱] استفاده شده است. سختی بی بعد فنر قائم معادل نیم‌فضا متشکل از ماده‌ای شماره I تحت شالوده صلب دایره‌ای برابر ۵/۳۳ می‌باشد. در این مقاله با تغییر تعداد المان‌ها سختی بی بعد فنر قائم در هر مورد به دست آمده و از آن تعداد المان‌های مناسب تعیین می‌شود. سختی بی بعد فنر قائم به دست آمده از روش ارائه شده در این مقاله با تعداد المان‌های معادل ۱۰، ۲۰، ۳۰، ۴۰، ۵۰ و ۶۰ برای ماده‌ای شماره I به دست آمده و در جدول (۲) لیست شده است. همان‌طور که مشاهده می‌شود، برای ۱۰ المان میزان خطای نسبی $(K_{vv(exact)} - K_{vv(num)}) / K_{vv(exact)}$ برابر ۱/۴۹ درصد و برای ۶۰ المان، این خطای برابر ۰/۰۰۱۸ درصد است. در ادامه، کلیه محاسبات با ۱۰ المان انجام می‌شود. شکل (۴)، تغییرمکان قائم سطح نیم‌فضا را بر حسب فاصله‌ی افقی نشان می‌دهد. همان‌طور که مشاهده می‌شود، شرایط مرزی تغییرمکانی

$$K_{vv} = \frac{F_v}{\Delta_w a A_{66}}, \quad (38)$$

تعیین می‌شود. عبارت $a A_{66}$ در رابطه‌ی (۳۸) جهت بی بعد شدن مقدار سختی اضافه شده است. هم‌چنین سختی فنر گسترده‌ی معادل خاک با استفاده از رابطه $k_v = K_{vv} / \pi a^2$ فرض عدم ارتباط تغییرشکل‌های افقی و چرخشی، که در ادبیات این موضوع به نام رفتار relaxed نامیده می‌شود [۲]، می‌توان سختی فنر مرکز و گسترده معادل برای تغییرمکان‌های افقی و چرخشی را نیز تعیین کرد. برای این منظور می‌توان با جایگزینی $U(M)$ ، $U_i(M)$ ، $U_{ii}(M)$ ، $\bar{U}_i(M)$ ، F_h ، Δ_u و K_{hh} به ترتیب: برای (۳۵) تا (۳۸)، به K_{hh} معادل رسید. توجه شود که $\bar{U}_i(M)$ با استفاده از روابط (۳۱) و (۳۱) به صورت ذیل به دست می‌آید:

$$U_i(M) = p_i \frac{\delta y}{\delta x} \int_{m_i}^{n_i} \left\{ \frac{\cos(\theta - \theta_0)}{4\pi A_{44}} \right. \\ \left[\int_0^\infty \xi (\gamma_1 + \gamma_2) J_0(\xi \bar{r}) J_2(\xi r) d\xi \right. \\ \left. \left. \int_0^\infty \xi (\gamma_2 - \gamma_1) J_0(\xi \bar{r}) J_0(\xi r) d\xi \right] \right\} d\bar{r}. \quad (39)$$

به همین ترتیب برای حرکت چرخشی تغییرمکان قائم در نقاط i برابر A_i / r_i می‌باشد؛ به طوری که $\Delta_{R\Theta}$ حداکثر تغییرمکان به علت چرخش است.



شکل ۳ نمایش شکل شماتیک فنرهای معادل نیم‌فضا برای صفحه‌ی صلب دایره‌ای به شعاع a

هر چه به طرف مرکز دیسک می‌رویم، این تنش هموارتر می‌گردد. از آنجایی که تنش قائم در هر ماده با نیروی کل خود نرمالیزه شده است، کلیه‌ی منحنی‌ها روی یکدیگر قرار گرفته‌اند، حال آنکه مطابق شکل (۸) اگر تنش‌ها بدون نرمال کردن رسم شوند، کاملاً متفاوت می‌باشند. شکل‌های (۹) و (۱۰) تغییرات تغییرمکان افقی و تنش برشی را بر حسب عمق نشان می‌دهد.

با توجه به مطالب فوق، سختی فنرهاي قائم و افقی با ۶۰ المان در هر مورد به دست آمده و در جدول (۳) نشان داده شده‌اند. نتایج مربوط به سختی بی بعد فنر قائم با دقت بسیار خوب بر نتایج تحلیلی پک و اشلاک [۱] و نیز لوکو و میتا [۸] منطبق می‌باشد و نتایج مربوط به محیط III، IV و V نتایج جدید می‌باشند.

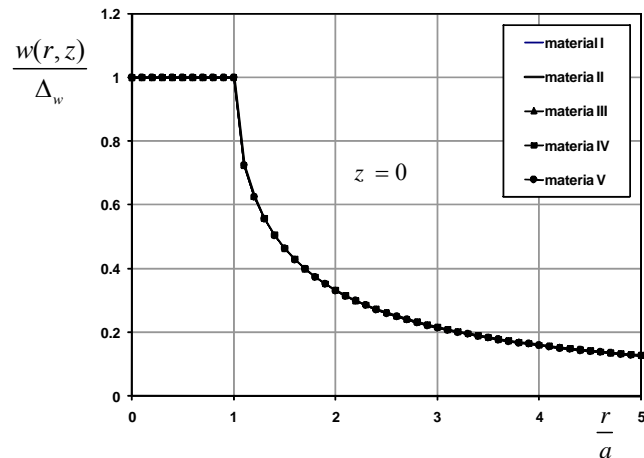
در فاصله‌ی $a \leq r \leq 0$ به طور کامل ارضا شده است. از آنجایی که شرایط مرزی تغییرمکان Δ_w برای همه‌ی حالات، یکسان است. تمام تغییرمکان‌ها در این شکل روی هم قرار گرفته‌اند؛ حال آنکه اگر به عمق محیط برویم، همان‌طور که در شکل (۵) دیده می‌شود، این تغییرمکان‌ها متفاوت می‌باشند. نتایج نشان می‌دهد که تغییرمکان در عمق برای ماده II کمی متفاوت از مواد I، IV و V می‌باشد؛ اما نتایج برای ماده III کاملاً متفاوت از بقیه است. دلیل این امر، تفاوت ضریب \bar{E} در مواد متفاوت می‌باشد. هم‌چنین تنش قائم در عمق به دلیل مشابه برای ماده III بسیار متفاوت از مواد دیگر بوده و در ماده II کمی با مواد I، IV و V فرق می‌کند (شکل (۶)). تنش قائم در سطح (شکل (۷))، همان‌طور که انتظار می‌رود در لبه‌ی دیسک با تغییرات سریع بوده و

جدول ۱ مشخصات مکانیکی مصالح انتخابی

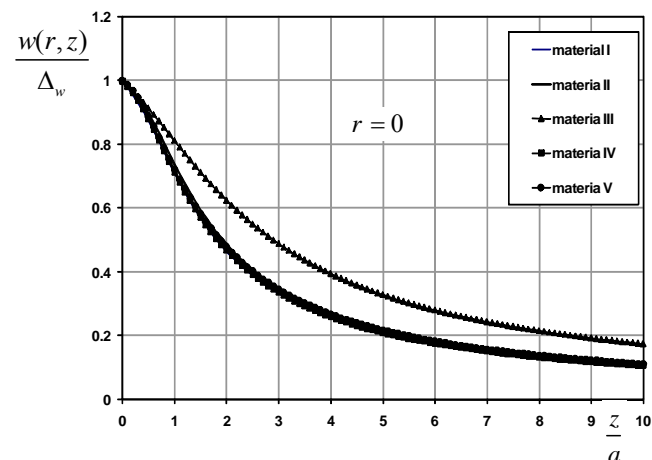
ماده	E (N/mm ²)	\bar{E} (N/mm ²)	G (N/mm ²)	\bar{G} (N/mm ²)	v	\bar{v}
I (همسان)	50000	50000	20000	20000	0.25	0.25
II (همسان)	53333	53333	20000	20000	1/3	1/3
III (همسان جانبی)	50000	150000	20000	20000	0.25	0.25
IV (همسان جانبی)	100000	50000	40000	20000	0.25	0.25
V (همسان جانبی)	150000	50000	60000	20000	0.25	0.25

جدول ۲ مقایسه‌ی سختی قائم ناشی از نتایج تحلیلی پک و اشلاک [۱] و نتایج عددی این مطالعه برای ماده‌ی شماره I

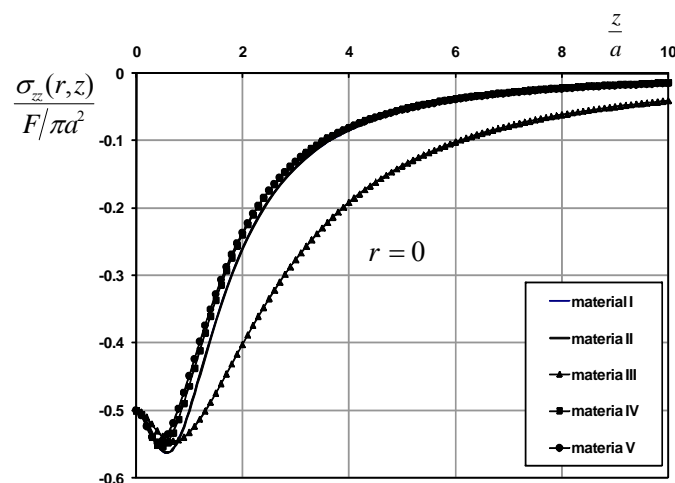
تعداد المان‌ها	$K_{vv(\text{num})}$	$K_{vv(\text{exact})}$	% اختلاف
10	5.2503	5.33	1.49
20	5.2947	5.33	0.66
30	5.3170	5.33	0.24
40	5.3240	5.33	0.11
50	5.3283	5.33	0.0318
60	5.3299	5.33	0.0018



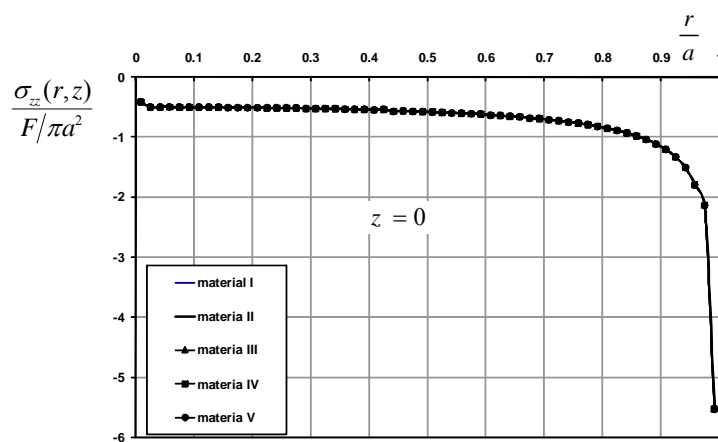
شکل ۴ تغییرات تغییر مکان قائم نسبی بر حسب فاصله‌ی افقی



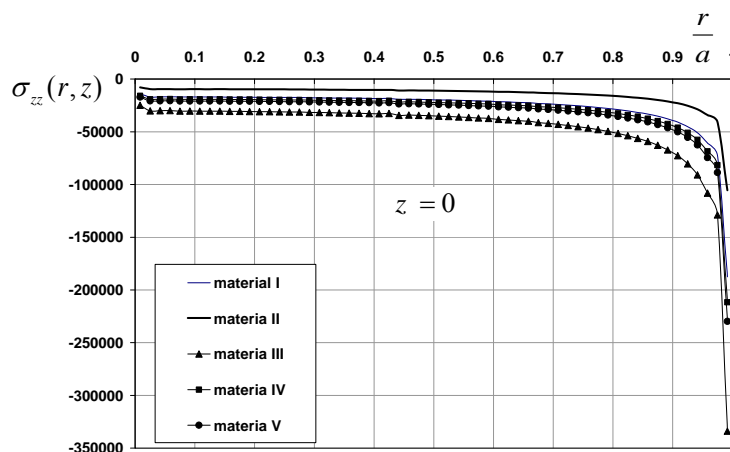
شکل ۵ تغییرات تغییر مکان قائم نسبی بر حسب عمق



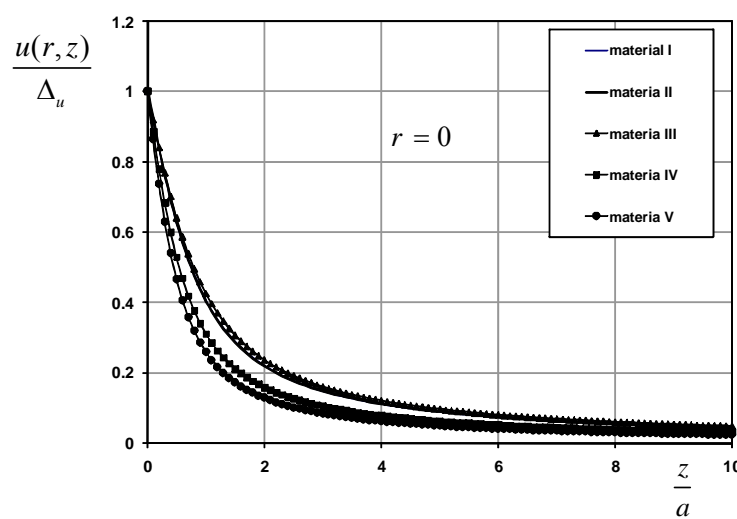
شکل ۶ تغییرات تنش قائم بر حسب عمق



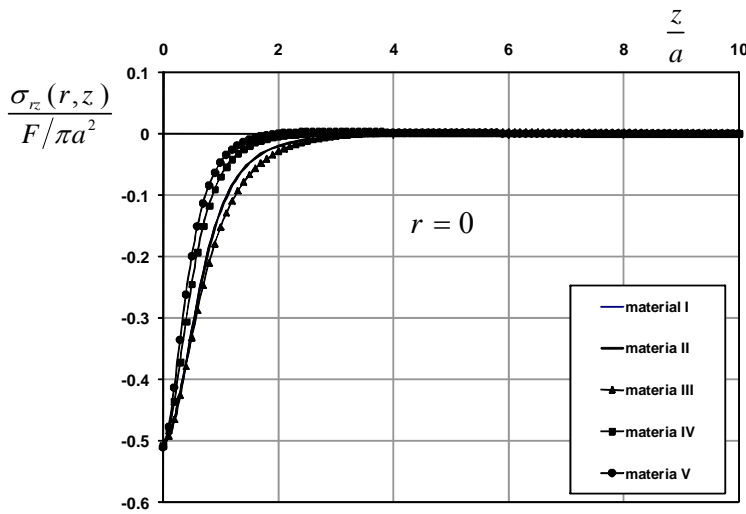
شکل ۷ تغییرات تنش قائم نرمال شده بر حسب فاصله‌ی افقی



شکل ۸ تغییرات تنش قائم بر حسب فاصله‌ی افقی



شکل ۹ تغییرات تغییر مکان افقی نسبی بر حسب عمق



شکل ۱۰ تغییرات تنفس افقی بر حسب عمق

جدول ۳ سختی بی بعد فنرهای قائم و افقی در محیط‌های متفاوت

ماده	K _{vv}	K _{hh}	تعداد المانها
I	5.32990	4.56012	60
II	5.99614	4.78812	60
III	9.48866	4.64967	60
V	3.00696	3.34287	60
IV	2.17662	2.77957	60

استفاده از توابع گرین بدست آمده، سختی فنرهای افقی و قائم ناشی از قرارگیری یک شالوده صلب بر روی نیم فضای مورد نظر به صورت تحلیلی به شکل انتگرال‌های یک بعدی ارائه شده و به منظور ارائه نتایج عددی با استفاده از المان‌های حلقوی با فشار ثابت برآورده عددی شده‌اند. نشان داده شده است که با اختیار تعداد محدودی المان با فشار ثابت نتایج در محیط‌های ایزوتrop پ به سرعت به نتایج تحلیلی همگرا می‌شود. در نهایت سختی بی بعد فنرهای افقی و قائم برای محیط‌های ایزوتrop جانبی نیز برآورده شده و به صورت جدول ارائه شده‌اند.

نتیجه‌گیری

در در این مقاله یک نیم فضای ایزوتrop جانبی تحت اثر بار حلقوی دلخواه در سطح قرار گرفته و از آن توابع گرین تغییرمکان و تنفس برای بار حلقوی به دست آمده‌اند. بدین منظور معادلات حاکم بر مسئله به وسیله توابع پتانسیل لخنیتسکی-هو-نواکی مجزا سازی شده و معادلات حاکم بر توابع پتانسیل به کمک سری فوریه و تبدیل هنکل حل شده‌اند و با استفاده از قضیه تبدیل معکوس هنکل نتایج به صورت انتگرال‌های یک بعدی ارائه شده‌اند. به طور واضح با میل شعاع بار حلقوی به صفر توابع گرین برای بار متمرکز نتیجه خواهند شد. با

مراجع

1. Pak, R. Y. S. and Ashlock, J. C. "Method of adaptive-gradient elements for computational mechanics." *Journal of Engineering Mechanics*, Vol. 133, No. 1, pp. 87-97, (2007).
2. Pak, R. Y. S. and Gobert, A. T. "Forced vertical vibration of rigid discs with an arbitrary embedment." *Journal of Engineering Mechanics*, Vol. 117, No. 11, pp. 2527-2548, (1991).
3. Reissner, E. and Sagoci, H. F. "Forced torsional oscillations of an elastic half-space." *I. J. Appl. Phys.*, Vol. 15(9), pp 652-654, (1944).
4. Robertson, I. A. "Forced vertical vibration of a rigid circular disc on a semi-infinite elastic solid." *Proc. Camb. Phil. Soc.*, Vol. 62 A, pp 547-553, (1966).
5. Sneddon, I. N. "Fourier transforms." McGraw-Hill, New York, N. Y, (1951).
6. Sneddon, I. N. "Mixed boundary value problems in potential theory." North-Holland Publishing Company, Amsterdam, (1966).
7. Michell, J. H. "The stress in an aeolotropic elastic solid with an infinite plane boundary." Proceeding of the London Mathematical Society, Vol. 32, pp 247-258, (1900).
8. Luco, J. E. and Mita, A. "Response of a circular foundation on a uniform half-space to elastic waves." *Earthquake Engineering and Structural Dynamics*, Vol. 15, pp 105-118, (1987).
9. رحیمیان، م. و اسکندری قادی، م. تئوری ارتجاعی، انتشارات دانشگاه تهران، (۱۳۷۹).
10. Eskandari-Ghadi, M. and Pak, R. Y. S. "Elastodynamics and elastostatics by a unified method of potentials for x 3-convex domains." *Journal of Elasticity*, Vol. 92, pp 187-194, (2008).
11. Tran-Cong, T. "On the completeness and uniqueness of Papkovich-Neuber and the non-axisymmetric Boussinesq, Love and Burgatti solutions in general cylindrical coordinates." *Journal of Elasticity*, Vol. 36, pp 227-255, (1995).
12. Elliott, H. A. "Three dimensional stress distribution in hexagonal aeolotropic crystals." *Mathematical Proceedings of the Cambridge Philosophical Society*, Vol. 44, pp 522-533, (1948).
13. Lekhnitskii, S. G. "Theory of anisotropic elastic bodies." Holden-Day Publishing Co., San Fransisko, Calif, (1981).
14. Wang, M. Z. and Wang, W. "Completeness and nonuniqueness of general solutions of transversely isotropic elasticity." *International Journal of Solids and Structures*, Vol. 32 (374) pp 501-513, (1995).
15. Eskandari-Ghadi, M. "A complete solutions of the wave equations for transversely isotropic media." *Journal of Elasticity*, Vol. 81, pp 1-19, (2005).
16. Noble, B. "The solution of Bessel function dual integral equations by a multiplying-factor method." *Proc. Camb. Phil. Soc.*, Vol. 59, pp 351-371, (1963).

ضمیمه‌ی الف

پارامترهای آن‌ها برای حالتی که $s_1 \neq s_2$ است:

$$\begin{aligned} \gamma_1(\xi, z) &= \frac{\alpha_3}{I\xi} \left(s_1 \bar{v}_2 e^{-s_1 \xi z} - s_2 \bar{v}_1 e^{-s_2 \xi z} \right), & \gamma_2(\xi, z) &= \frac{e^{-s_0 \xi z}}{s_0 \xi}, \\ \gamma_3(\xi, z) &= \frac{\alpha_3}{I\xi} \left(s_1 \bar{\eta}_2 e^{-s_1 \xi z} - s_2 \bar{\eta}_1 e^{-s_2 \xi z} \right), \\ \Omega_1(\xi, z) &= \frac{(1+\alpha_1)}{I\xi} \left[\bar{v}_1 \left(s_2^2 \frac{\alpha_2}{(1+\alpha_1)} - 1 \right) e^{-s_2 \xi z} - \bar{v}_2 \left(s_1^2 \frac{\alpha_2}{(1+\alpha_1)} - 1 \right) e^{-s_1 \xi z} \right], \\ \Omega_2(\xi, z) &= \frac{(1+\alpha_1)}{I\xi} \left[\bar{\eta}_1 \left(s_2^2 \frac{\alpha_2}{(1+\alpha_1)} - 1 \right) e^{-s_2 \xi z} - \bar{\eta}_2 \left(s_1^2 \frac{\alpha_2}{(1+\alpha_1)} - 1 \right) e^{-s_1 \xi z} \right], \end{aligned} \quad (\text{الف}-1)$$

$$\begin{aligned} \frac{d\gamma_1(\xi, z)}{dz} &= \frac{\alpha_3}{I} \left(s_2^2 \bar{v}_1 e^{-s_2 \xi z} - s_1^2 \bar{v}_2 e^{-s_1 \xi z} \right), & \frac{d\gamma_2(\xi, z)}{dz} &= -e^{-s_0 \xi z}, \\ \frac{d\gamma_3(\xi, z)}{dz} &= \frac{\alpha_3}{I} \left(s_2^2 \bar{\eta}_1 e^{-s_2 \xi z} - s_1^2 \bar{\eta}_2 e^{-s_1 \xi z} \right), \\ \frac{d\Omega_1(\xi, z)}{dz} &= \frac{(1+\alpha_1)}{I} \left[s_1 \bar{v}_2 \left(s_1^2 \frac{\alpha_2}{(1+\alpha_1)} - 1 \right) e^{-s_1 \xi z} - s_2 \bar{v}_1 \left(s_2^2 \frac{\alpha_2}{(1+\alpha_1)} - 1 \right) e^{-s_2 \xi z} \right], \\ \frac{d\Omega_2(\xi, z)}{dz} &= \frac{(1+\alpha_1)}{I} \left[s_1 \bar{\eta}_2 \left(s_1^2 \frac{\alpha_2}{(1+\alpha_1)} - 1 \right) e^{-s_1 \xi z} - s_2 \bar{\eta}_1 \left(s_2^2 \frac{\alpha_2}{(1+\alpha_1)} - 1 \right) e^{-s_2 \xi z} \right]. \end{aligned} \quad (\text{الف}-2)$$

پارامترهای آن‌ها برای حالتی که $s_1 = s_2$ است:

$$\begin{aligned} \gamma_1(\xi, z) &= \frac{\alpha_3 \left[2\alpha_2 s_2 - \xi z \left(1 + \alpha_1 - \alpha_3 \frac{A_{13}}{A_{33}} - \alpha_2 s_2^3 \right) \right] s_2^2 e^{-s_2 \xi z}}{\xi \left\{ s_2^2 (\alpha_3 - \alpha_2) \left[\alpha_3 \frac{A_{13}}{A_{33}} - \alpha_2 s_2^2 - 1 - \alpha_1 \right] + (1 + \alpha_1) \left[1 + \alpha_1 - \alpha_3 \frac{A_{13}}{A_{33}} - 3\alpha_2 s_2^2 \right] \right\}}, \\ \gamma_3(\xi, z) &= \frac{\alpha_3 \left[(1 + \alpha_1 - (\alpha_3 - \alpha_2) s_2^2) - (1 + \alpha_1 + (\alpha_3 - \alpha_2) s_2^2) s_2 \xi z \right] e^{-s_2 \xi z}}{\xi \left\{ s_2^2 (\alpha_3 - \alpha_2) \left[\alpha_3 \frac{A_{13}}{A_{33}} - \alpha_2 s_2^2 - 1 - \alpha_1 \right] + (1 + \alpha_1) \left[1 + \alpha_1 - \alpha_3 \frac{A_{13}}{A_{33}} - 3\alpha_2 s_2^2 \right] \right\}}, \\ \Omega_1(\xi, z) &= \frac{(1 + \alpha_1) \left[s_2 \xi z \left(s_2^2 \frac{\alpha_2}{1 + \alpha_1} - 1 \right) \left(1 + \alpha_1 - \alpha_3 \frac{A_{13}}{A_{33}} - \alpha_2 s_2^2 \right) \right] e^{-s_2 \xi z}}{\xi \left\{ s_2^2 (\alpha_3 - \alpha_2) \left[\alpha_3 \frac{A_{13}}{A_{33}} - \alpha_2 s_2^2 - 1 - \alpha_1 \right] + (1 + \alpha_1) \left[1 + \alpha_1 - \alpha_3 \frac{A_{13}}{A_{33}} - 3\alpha_2 s_2^2 \right] \right\}} \\ &\quad - \frac{(1 + \alpha_1) \left[\left(1 + \frac{\alpha_2}{1 + \alpha_1} s_2^2 \right) \left(1 + \alpha_1 - \alpha_3 \frac{A_{13}}{A_{33}} \right) + \alpha_2 s_2^2 \left(3 - \frac{\alpha_2}{1 + \alpha_1} s_2^2 \right) \right] e^{-s_2 \xi z}}{\xi \left\{ s_2^2 (\alpha_3 - \alpha_2) \left[\alpha_3 \frac{A_{13}}{A_{33}} - \alpha_2 s_2^2 - 1 - \alpha_1 \right] + (1 + \alpha_1) \left[1 + \alpha_1 - \alpha_3 \frac{A_{13}}{A_{33}} - 3\alpha_2 s_2^2 \right] \right\}}, \\ \Omega_2(\xi, z) &= \frac{(1 + \alpha_1) \left[\xi z \left(s_2^2 \frac{\alpha_2}{1 + \alpha_1} - 1 \right) \left(1 + \alpha_1 + (\alpha_3 - \alpha_2) s_2^2 \right) - 2\alpha_3 s_2 \right] e^{-s_2 \xi z}}{\xi \left\{ s_2^2 (\alpha_3 - \alpha_2) \left[\alpha_3 \frac{A_{13}}{A_{33}} - \alpha_2 s_2^2 - 1 - \alpha_1 \right] + (1 + \alpha_1) \left[1 + \alpha_1 - \alpha_3 \frac{A_{13}}{A_{33}} - 3\alpha_2 s_2^2 \right] \right\}}, \end{aligned} \quad (\text{الف}-3)$$

$$\begin{aligned}
\frac{d\gamma_1(\xi, z)}{dz} &= \frac{-\alpha_3 s_2^2 \left[\left(1 + \alpha_1 - \alpha_3 \frac{A_{13}}{A_{33}} - \alpha_2 s_2^3 + 2\alpha_2 s_2^2 \right) - \xi z \left(1 + \alpha_1 - \alpha_3 \frac{A_{13}}{A_{33}} - \alpha_2 s_2^3 \right) \right] e^{-s_2 \xi z}}{s_2^2 (\alpha_3 - \alpha_2) \left[\alpha_3 \frac{A_{13}}{A_{33}} - \alpha_2 s_2^2 - 1 - \alpha_1 \right] + (1 + \alpha_1) \left[1 + \alpha_1 - \alpha_3 \frac{A_{13}}{A_{33}} - 3\alpha_2 s_2^2 \right]}, \\
\frac{d\gamma_2(\xi, z)}{dz} &= -e^{-s_0 \xi z}, \\
\frac{d\gamma_3(\xi, z)}{dz} &= \frac{\alpha_3 s_2 \left[-2(1 + \alpha_1) + (1 + \alpha_1 + (\alpha_3 - \alpha_2)s_2^2)s_2 \xi z \right] e^{-s_2 \xi z}}{s_2^2 (\alpha_3 - \alpha_2) \left[\alpha_3 \frac{A_{13}}{A_{33}} - \alpha_2 s_2^2 - 1 - \alpha_1 \right] + (1 + \alpha_1) \left[1 + \alpha_1 - \alpha_3 \frac{A_{13}}{A_{33}} - 3\alpha_2 s_2^2 \right]}, \\
\frac{d\Omega_1(\xi, z)}{dz} &= \frac{s_2^2 (1 + \alpha_1) \left[2s_2 \frac{\alpha_2}{1 + \alpha_1} \left(1 + \alpha_1 - \alpha_3 \frac{A_{13}}{A_{33}} \right) - 2\alpha_2 s_2 \right] e^{-s_2 \xi z}}{s_2^2 (\alpha_3 - \alpha_2) \left[\alpha_3 \frac{A_{13}}{A_{33}} - \alpha_2 s_2^2 - 1 - \alpha_1 \right] + (1 + \alpha_1) \left[1 + \alpha_1 - \alpha_3 \frac{A_{13}}{A_{33}} - 3\alpha_2 s_2^2 \right]} \\
&\quad - \frac{s_2^2 (1 + \alpha_1) \xi z \left(s_2^2 \frac{\alpha_2}{1 + \alpha_1} - 1 \right) \left(1 + \alpha_1 - \alpha_3 \frac{A_{13}}{A_{33}} - \alpha_2 s_2^2 \right) e^{-s_2 \xi z}}{s_2^2 (\alpha_3 - \alpha_2) \left[\alpha_3 \frac{A_{13}}{A_{33}} - \alpha_2 s_2^2 - 1 - \alpha_1 \right] + (1 + \alpha_1) \left[1 + \alpha_1 - \alpha_3 \frac{A_{13}}{A_{33}} - 3\alpha_2 s_2^2 \right]}, \\
\frac{d\Omega_2(\xi, z)}{dz} &= \frac{(1 + \alpha_1) \left[\left(s_2^2 \frac{\alpha_2}{1 + \alpha_1} - 1 \right) (1 + \alpha_1 + (\alpha_3 - \alpha_2)s_2^2) + 2\alpha_3 s_2 \right] e^{-s_2 \xi z}}{s_2^2 (\alpha_3 - \alpha_2) \left[\alpha_3 \frac{A_{13}}{A_{33}} - \alpha_2 s_2^2 - 1 - \alpha_1 \right] + (1 + \alpha_1) \left[1 + \alpha_1 - \alpha_3 \frac{A_{13}}{A_{33}} - 3\alpha_2 s_2^2 \right]} \\
&\quad - \frac{s_2 \xi z (1 + \alpha_1) \left(s_2^2 \frac{\alpha_2}{1 + \alpha_1} - 1 \right) (1 + \alpha_1 + (\alpha_3 - \alpha_2)s_2^2) e^{-s_2 \xi z}}{s_2^2 (\alpha_3 - \alpha_2) \left[\alpha_3 \frac{A_{13}}{A_{33}} - \alpha_2 s_2^2 - 1 - \alpha_1 \right] + (1 + \alpha_1) \left[1 + \alpha_1 - \alpha_3 \frac{A_{13}}{A_{33}} - 3\alpha_2 s_2^2 \right]},
\end{aligned} \tag{الف-۴}$$

عبارت‌های ذیل در روابط فوق به کار رفته است:

$$\bar{\eta}_i = (\alpha_3 - \alpha_2)s_i^2 + (1 + \alpha_1), \bar{v}_i = (1 + \alpha_1 - \alpha_3 \frac{A_{13}}{A_{33}})s_i - \alpha_2 s_i^3, \quad (i = 1, 2) \tag{الف-۵}$$

$$I = (\eta_2 v_1 - \eta_1 v_2), \quad \bar{I} = (\bar{\eta}_2 \bar{v}_1 - \bar{\eta}_1 \bar{v}_2). \tag{الف-۶}$$